

5.2.8. Ρηγμάτωση δοκιμίου B1



Σχήμα B1.1 – Ρηγμάτωση δοκιμίου B1 για $\delta=1,50$ mm, $P \approx 95$ kN.



Σχήμα B1.2 - Ρωγμές αποκόλλησης στη διεπιφάνεια τοιχώματος-πλαισίου δοκιμίου B1 (εμφάνιση αρχικών ρωγμών αποκόλλησης σε μετακίνηση $\delta=1,35$ mm).



$\delta=13,35 \text{ mm}$



$\delta=13,35 \text{ mm}$

Σχήμα B1.3 - Ρηγμάτωση στο δεξιό υποστύλωμα δοκιμίου B1 ($\delta=13,35 \text{ mm}$).

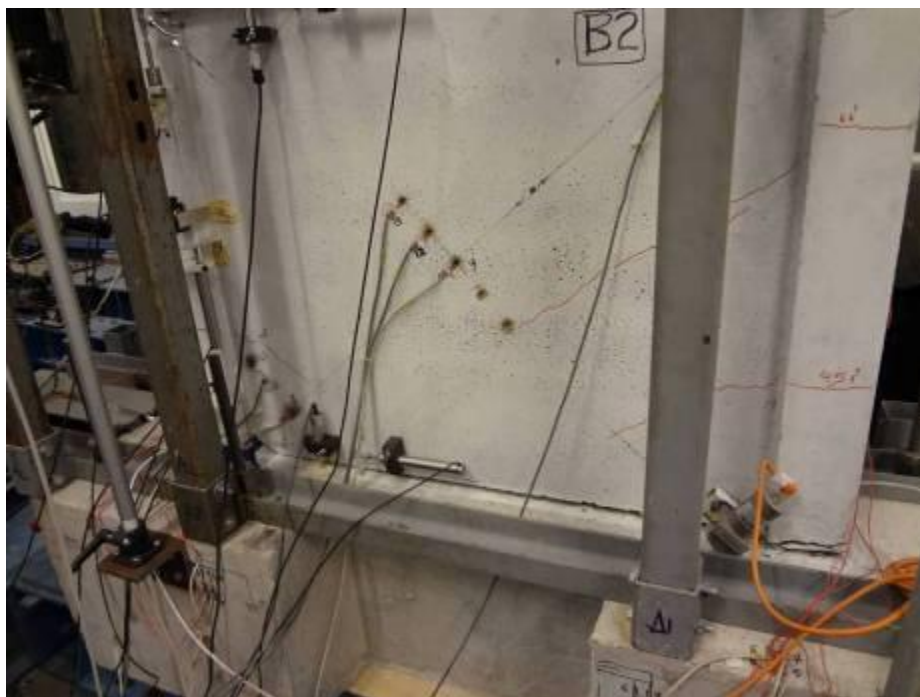


Σχήμα B1.4 - Τελική εικόνα αστοχίας δοκιμίου B1.

5.2.9. Ρηγμάτωση δοκιμίου B2



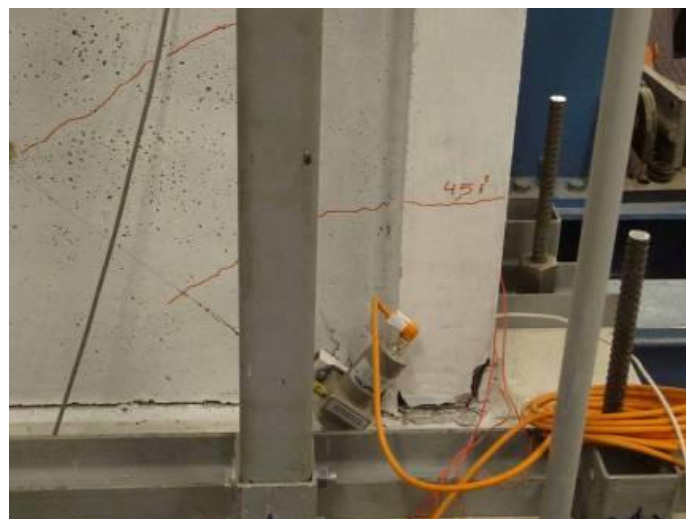
Σχήμα B2.1 - Δοκίμιο B2 πριν την έναρξη της δοκιμής.



Σχήμα B2.2 - Δοκίμιο B2 μετά την αστοχία.



Σχήμα B2.3 - Αποκόλληση διεπιφάνειας και δεξιού υποστυλώματος δοκιμίου B2 μετά την αστοχία.

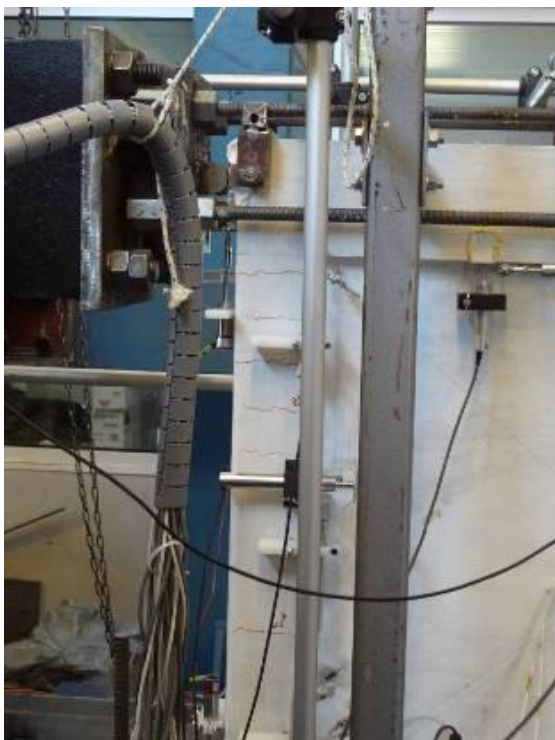


Σχήμα B2.4 - Δεξιό τμήμα δοκιμίου B2 στη βάση του πλαισίου μετά την αστοχία.

5.2.10. Ρηγμάτωση δοκιμίου B3



Σχήμα B3.1 - Ρηγμάτωση δοκιμίου B3 ($\delta=1,05$ mm).



Σχήμα B3.2 - Ρηγμάτωση δοκιμίου B3 ($\delta=1,80$ mm).



$\delta=1,05 \text{ mm}$



$\delta=2,55 \text{ mm}$



$\delta=3,45 \text{ mm}$ (οπίσθια όψη)



$\delta=5,55 \text{ mm}$ (εμπρόσθια όψη)



$\delta=8,55 \text{ mm}$ (εμπρόσθια όψη)

Σχήμα Β3.3 - Εξέλιξη ρηγματώσης στη διεπιφάνεια τοιχώματος-θεμελίου για δοκίμιο Β3.



$\delta=4,35 \text{ mm}$



$\delta=5,55 \text{ mm}$



$\delta=7,35 \text{ mm}$

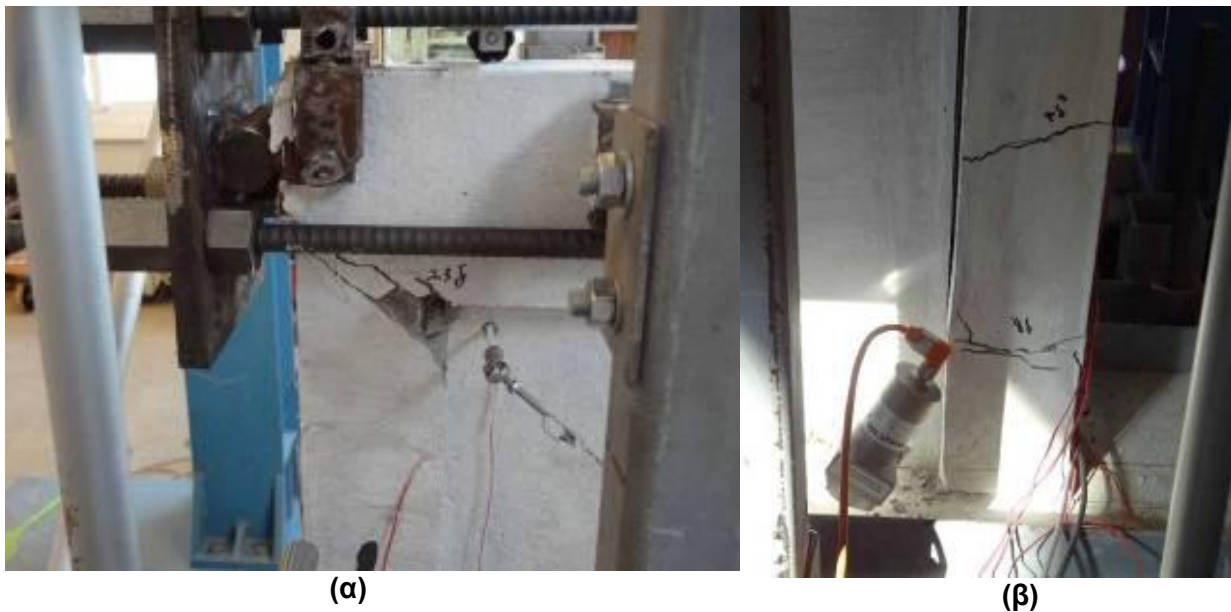


$\delta=10,95 \text{ mm}$



$\delta=16,95 \text{ mm}$ (οπίσθια όψη)

Σχήμα B3.4 - Εξέλιξη ρηγμάτωσης στη διεπιφάνεια τοιχώματος-δοκού για δοκίμιο B3.



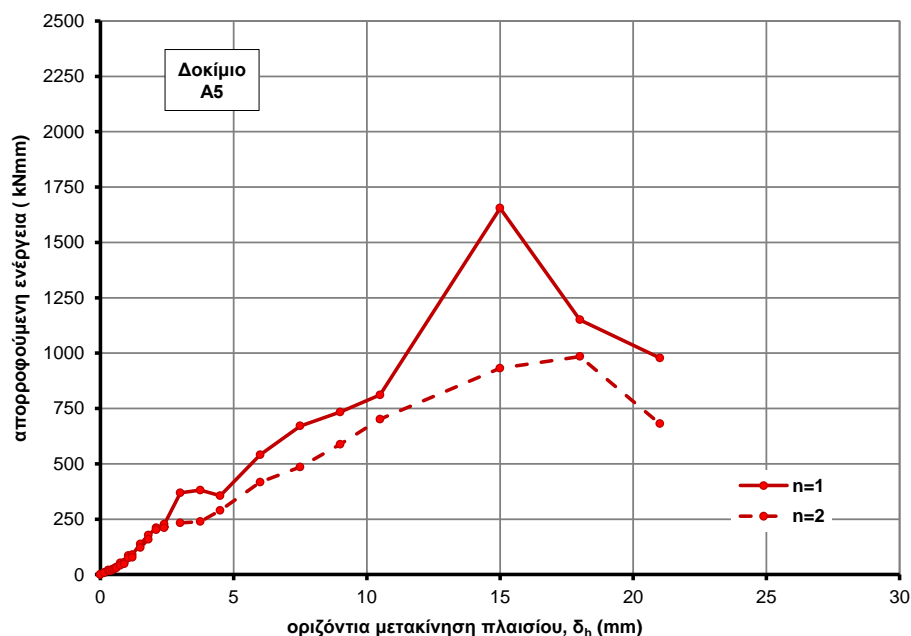
Σχήμα B3.5 - (α) δεξιός κόμβος πλαισίου (οπίσθια όψη), (β) βάση δεξιού υποστυλώματος (εμπρόσθια όψη) ($\delta=13,35$ mm).



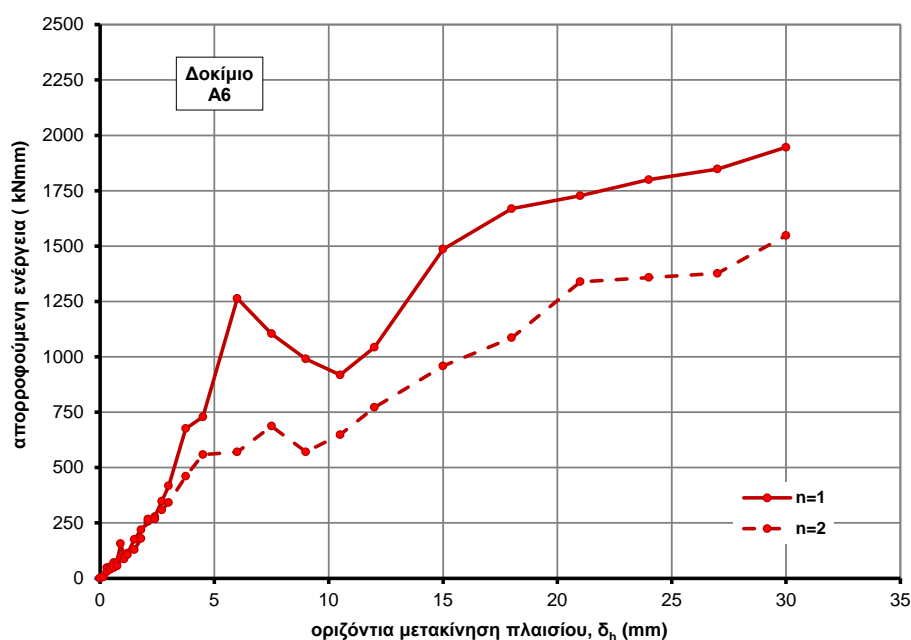
Σχήμα B3.6 - Τελική εικόνα ρηγμάτωσης δοκιμίου B3.

5.3. Απορρόφηση Ενέργειας

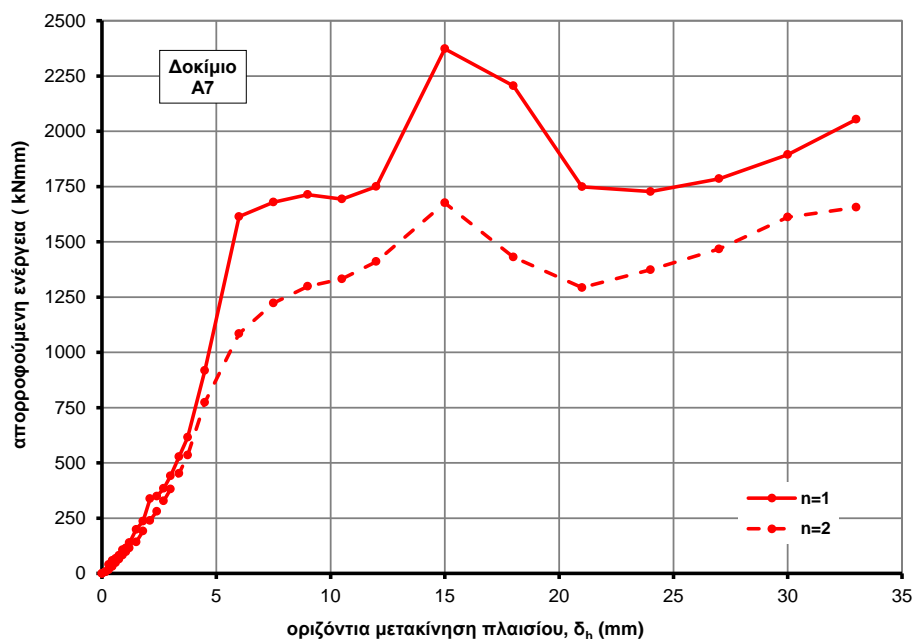
Στα Σχήματα 5.21÷5.23 και 5.24÷5.26 παρουσιάζεται η απόσβεση ενέργειας των δοκιμών A5, A6, A7 και B1, B2, B3, αντίστοιχα, σε διαγράμματα απορρόφησης ενέργειας συναρτήσει της επιβαλλόμενης οριζόντιας μετακίνησης για τον 1^ο και 2^ο κύκλο φόρτισης ($n=1, 2$). Η ικανότητα απορρόφησης ενέργειας μπορεί να συγκριθεί για τον 1^ο κύκλο φόρτισης ($n=1$) στα Σχ. 5.27 και 5.28 για τα δοκίμια της σειράς A και B, αντίστοιχα.



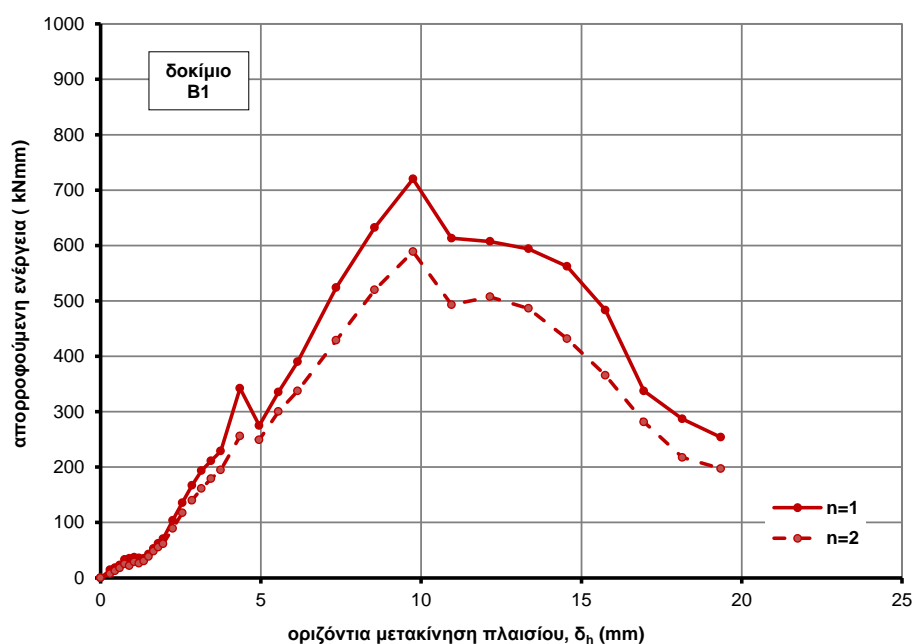
Σχήμα 5.21 - Απορρόφηση ενέργειας δοκιμίου A5 συναρτήσει της οριζόντιας μετακίνησης δ για $n=1, 2$.



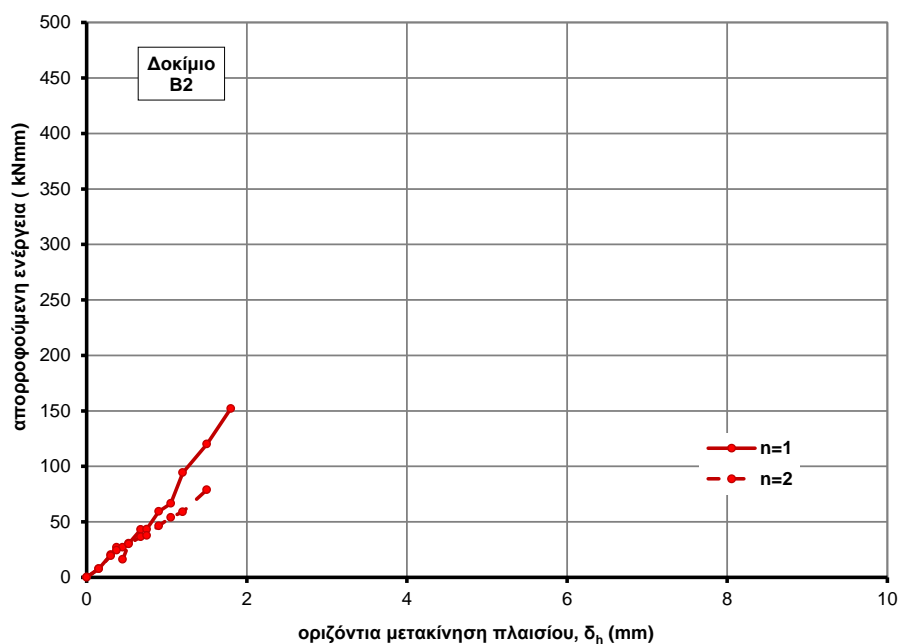
Σχήμα 5.22 - Απορρόφηση ενέργειας δοκιμίου A6 συναρτήσει της οριζόντιας μετακίνησης δ για $n=1, 2$.



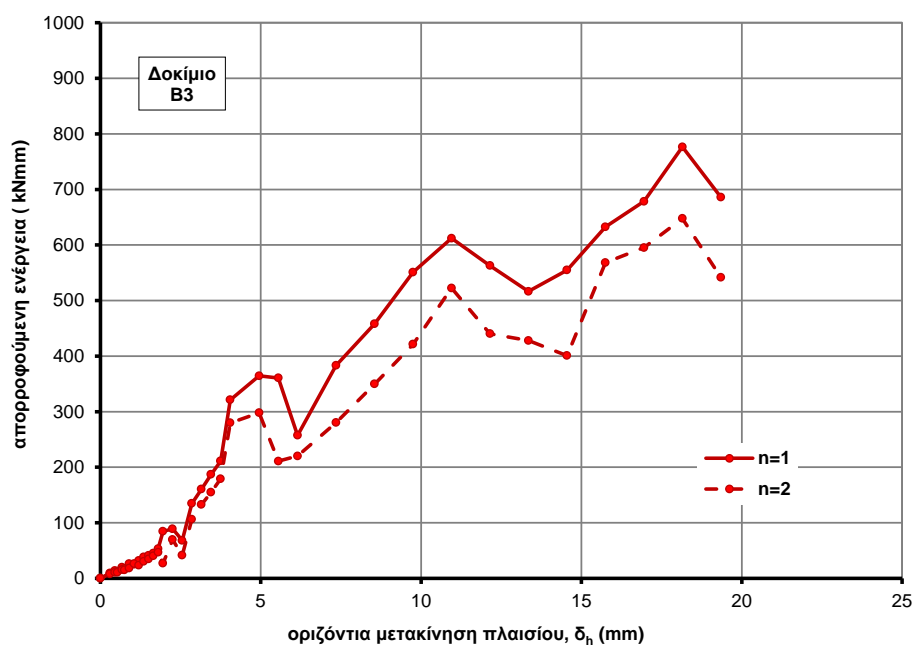
Σχήμα 5.23 – Απορρόφηση ενέργειας δοκιμίου A7 συναρτήσει της οριζόντιας μετακίνησης δ για $n=1, 2$.



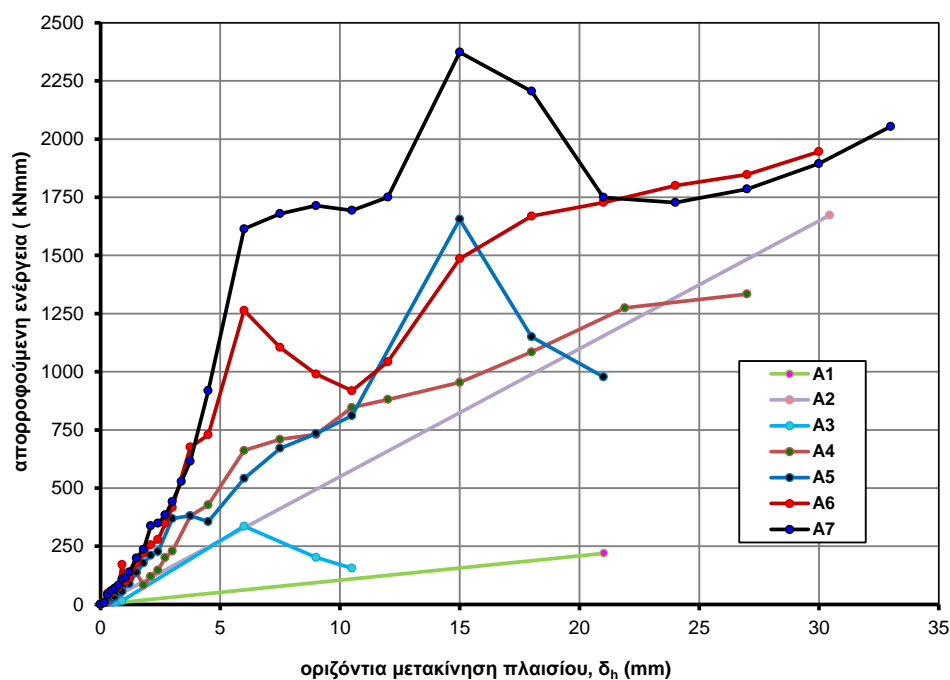
Σχήμα 5.24 - Απορρόφηση ενέργειας δοκιμίου B1 συναρτήσει της οριζόντιας μετακίνησης δ για $n=1, 2$.



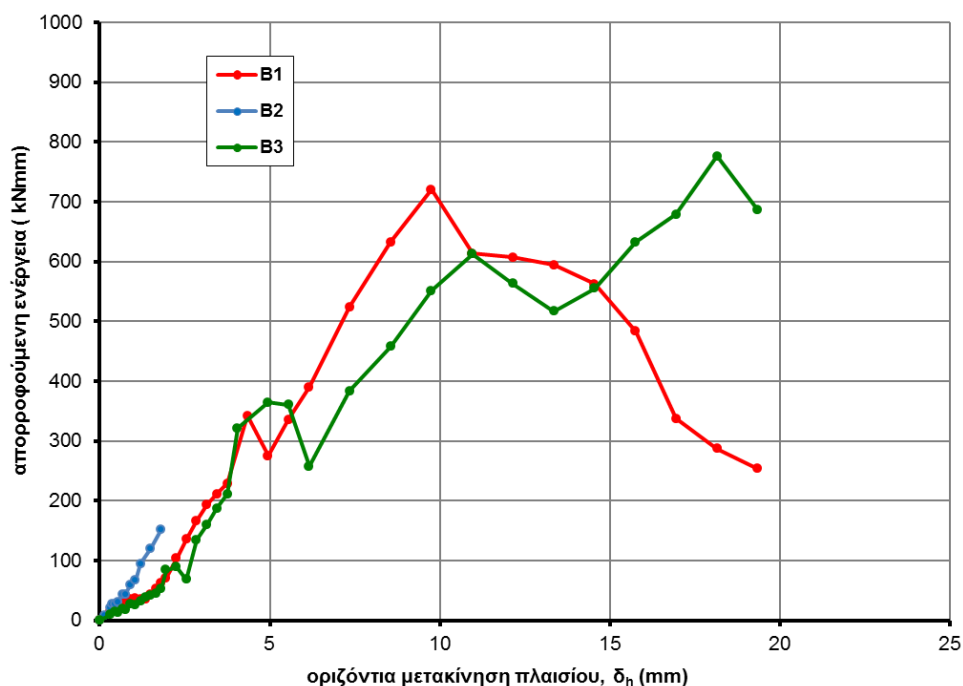
Σχήμα 5.25 - Απορρόφηση ενέργειας δοκιμίου B2 συναρτήσει της οριζόντιας μετακίνησης για n=1, 2.



Σχήμα 5.26 - Απορρόφηση ενέργειας δοκιμίου B3 συναρτήσει της οριζόντιας μετακίνησης δ για n=1, 2.



Σχήμα 5.27 - Απορρόφηση ενέργειας για τα δοκίμια της σειράς Α ($l/h=1,73$) συναρτήσει δ_h , για τον 1^ο κύκλο φόρτισης ($n=1$).



Σχήμα 5.28 - Απορρόφηση ενέργειας για τα δοκίμια της σειράς Β ($l/h=1,20$) συναρτήσει δ_h , για τον 1^ο κύκλο φόρτισης ($n=1$).